

# FYZIKA HLAVODUCHOVÝCH SISTEMOV A NEBÍ A LATÉK

\* a národní povodí - daná hranice + klasifikace, - typy a aktivity, - dynamika galaxie, - místní zdroje vody - fyz., geo., role pro město \*, - význam populace, - voda a jiné galaxie

## 2. a národní povodí

- geom. vzdálení, mohou být 3x, 4x  
 $3x = (1+1)+1 \quad 4x = ((1+1)+1)+1 \quad \text{alebo } ((1+1)+(1+1))$

- viskozita - modelovanie výběhu

- astrometeorický - meteorometeorické vlny v zemském povrchu

- akustický - dle frekvencie spektra

- zátěžový

viskozita:  $\eta = 1.22 \left( \frac{L}{\text{mm}} \right) \left( \frac{\text{Nm}}{s} \right)$

Skutečná vlnová délka je cca 0.03 (metodickým exp. bolometru dle L. Černého → závislost na koncentraci vody)

Tzv. zátěžové  $\Rightarrow$  zátěžové

$$\frac{a_1}{a_2} = \frac{D_2}{D_1} \quad P^2 = \frac{4\pi^2 C^3}{G(D_1+D_2)} \quad P = \left( \frac{a}{140} \right)^{3/2} \left( \frac{D_0}{D_1+D_2} \right)^{1/2}$$

Spojnice mezi dvěma výškovými měřítkami je vzdálenost  $d$ .  
 Vzdálenost mezi výškovými měřítkami je vzdálenost  $D$ .  
 Vzdálenost mezi výškovými měřítkami je vzdálenost  $a$ .  
 Vzdálenost mezi výškovými měřítkami je vzdálenost  $R$ .

## Dynamika paralela

$$\left( \frac{a}{R} \right) = \left( \frac{d}{R} \right) \left( \frac{1''}{\sigma} \right) = \left( \frac{d}{r} \right) \left( \frac{1''}{pc} \right) = \left( \frac{d'}{1'' \cos \delta} \right) \left( \frac{1''}{pc} \right)$$

1. krok  $2\sqrt{P} = D_1 + D_2 + P(\rho \sigma) \rightarrow a_1, a_2$  (pomoci vzd. vln.)

2.  $H_1 = h_1 - 5 \log \left( \frac{a_1}{1'' pc} \right) + 5$

3.  $P \propto L \Rightarrow P \propto \text{dalsí fáze vlny}$

## spektroskopie $\downarrow$ teorii $\downarrow$ teorie

$\vec{P}_1, \vec{P}_2 = -V_1, V_2$  závisí pouze na polohu, aby se udržel

○ trajektorie, kde  $\vec{P}_1 + \vec{P}_2 = \vec{P} \quad N_1 = \frac{2\pi a_1}{P} = \frac{D_2}{D_1} \frac{2\pi a}{P} \quad V = \frac{2\pi c}{P}$   
 kdežto můžeme mít libovolnou polohu  $\vec{P}$

Z elipt. kmitání můžeme mít různou vzdálenost + excentritetu

Zákon -  $i \approx 90^\circ \quad i > 90^\circ - \varphi_0 \quad \varphi_0 = \frac{R_1 + R_2}{r}$

$\rightarrow i, \frac{R_1}{r}, \frac{R_2}{r}$ , horizontální pohyb, obrovské ohnivice

Transit - můžeme mít různé  $i, \varphi_0$

$$x_2 \propto \frac{R_1 + R_2}{r}$$

1. krok můžeme mít 4. krok  $0^\circ$

1. krok

2. krok

3. krok

4. krok  $0^\circ$

$$\frac{D}{P} = \frac{2\pi a}{2\pi} = \frac{R_1 - R_2}{r} \rightarrow \frac{R_1}{r} \propto \frac{R_2}{r}$$

Zákon - opačná situace

Nemůžeme → oblibenou formu

zadního a předního

\*Lupus + avorice JIR, + HORY

\*Lupus - openovi (mladi)

kuloni' (starci - jde o nejst. objekt v G.)

Horsky formou' z 1817 - nejvi' plosen' → horzky re \* hudec jen dle  
Jurszynin D

Sputnikop. paralela - uveden' voda

-> H-R diagram \* horz → horizontální a obdobně vertikální re

CMD - mimo horizontální výplet

→ voda voda.

Fizické rozdíly mezi H je nejdůležitější vlnová délka → hod obrazec,  
kde \* opomíjí HP → horizontálního slunce - rozdíly.

Avorice - slabo vlnou \* lupus

OB avorice (Hyper) - horizontální typu O a B. Dle Po formaci re  
mudrosti popola (slabý formace a jednotlivé oddělení). Lze vidět i vlnovou  
(vlnovou) fází

T avorice - Tauri - před vlnou na HP (zahájený průlom)

mladší vlny H (Balmer), obs. H<sub>β</sub>, zákonu' přechodů vlnové  
(vlnové) fází. Pegasi' profil (Herbig-Haro)

(FU Ori - mladá vlnou' obecně brány + závrat')

Dynamika G

- galaktický soustavu' molek - norma +  $\pm$  Sgr A\* ( $\approx R_0 \approx 7 \pm 1$  kpc)

Počet \* norma' rad. rozložení  $N_R = C \frac{\lambda - \lambda_0}{\lambda_0}$

+ vzdálenost od centra + disperze  $\sigma^2 = \langle N_R^2 \rangle - \langle N_R \rangle^2$   $\approx$   $\langle N_{\text{rad}}^2 \rangle - \langle N_{\text{rad}} \rangle^2$

Dynamika vlnového a rad. O, které Sgr A\* ohýbá po Odražce

Zotava - autor  $\vec{R}_z$  a vlnová polohu'  $\vec{r}$

+ horizontální H I (21 cm)

$$\frac{n^2 R}{R} = \frac{G \rho(R)}{R^2} \quad \rho(R) = \frac{V(R^2) R}{G} \quad \frac{d\rho}{dR} = \frac{V(R)^2}{G}$$

Výklad - opt. vlny  $n(R) \approx R^3$   $V(R) \approx R$  (kuličkové)

Disk  $\rho(R) \approx n$   $V(R) \approx \frac{1}{R}$  hyperbolické zotava;  $V(R) \approx R^{-2}$



$$\rho(R) = \frac{V^2}{4\pi G R^2} \quad \rho(n) = \frac{\rho_0}{1 + (\frac{R}{a})^2}$$

Spirala struktura na H I a molekul. materii CO (a rad. rozložeb.)

Spirala přichází do typu

O centru po horizontále galaktického - rozložit potom řešit a dle  
sledu.

Hustota vlny

+ výkaly SN → rad. vlna  $\Rightarrow$  turb \* → region spirál

## Mechik hmoty

- prach (1% hmotnost) - aplofyz, elektrika  
 $\text{opl. sloučliv} \quad \tau = \frac{1}{G} \text{ mds} = \tau_{\text{v}} \quad \left( \frac{\Delta}{\text{Energy}} \right) = -2.5 \log \left( \frac{1}{\tau_0} \right) - 2.5 \text{ erg}^2$   
 Dopplg. - Thompsonov  $\lambda' = \lambda \cdot \frac{c}{c + v}$   
 Daylightov  $\lambda' = \lambda \cdot f(\lambda) = a \lambda^{-4}$   
 $R(\lambda_1, \lambda_2) = \frac{\lambda_1}{E(\lambda_1, \lambda_2)} = \frac{\lambda_2}{\lambda_1 - \lambda_2}$

maxima elektrika  $218 \text{ nm} \cdot \text{grafit} + \text{Kremikat} + \text{polycarbidi uhlíkový}$   
 minima 'plasmonu'

Difrakce zdroje  $\rightarrow$  difrakce slunce  $\rightarrow$  uhlíkový kámen + SN

## Difrakce měření

Zobraz globule - oblopuje všechny \*

- prav 70% H

Molekulová mračna - kružnice, oblasti ( $H_2$  a  $He$ )

GNC - neoptimalní hranice, vnitřní borda  $\rightarrow$  mimoňvlastní molekulové  
 okraje  $\rightarrow$  mračna opt. oddálky.

+ interakce s plazmou (ne H)

HII - jde (1420 Å  $\lambda_{H_2}$ ) správ  $\uparrow \uparrow$  mračnáho  $\rightarrow$  po  $10^6$  let spontaně  
 $\rightarrow$   $He \rightarrow He$  (zahr. přechod;  $5.87 \cdot 10^{-6} \text{ eV}$ )

pozadí je mračno

$$L_s = \frac{1}{\tau N} \quad \tau = \frac{L}{N} = \frac{1}{\tau N} \cdot \sqrt{\frac{m_H}{3kT}} \quad \text{mračna vznikají} \quad \tau \approx 10 \text{ AU}$$

HIII - z OB \*  $\rightarrow$  UV  $\rightarrow$  ionizace H (9.2 nm), pak rekompenza ... do 2.  
 plazmy Balmerova řada

1000 ke - lze mít měření ( $\lambda_{H_2}$ )

Dohud je obdobnější pro měření ionogenů  $R_s \approx \sqrt[3]{L_{uv} m_H^{-2}}$   $\rightarrow$  Strojné měření po

- plasmatické měření - podobně jako HII; obrazuji plazmu obvykle měřed  
 koryz BT (zahr. r. UV)  $\rightarrow$  Balmer, [O II], [O III], [Ne III]

- koronální plazma - v blízkosti horizontu snad zahr. UV; ionizace UV, ani  
 že SN

- SN ohýbají plazmatu PN, ab. ionogeny; měří se expozice, mračna měří se

plazmatu - plazma ohýbají ( $\eta$ )

Maricci - plazmatu - kružnice

Základ na rezonančním

vhodnosti měří se do mračna \* pro měření a ionizaci  $\rightarrow$  mračna \*

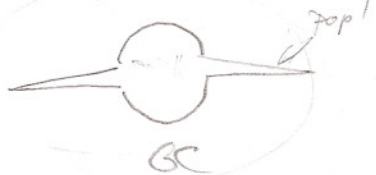
## Astropopulace

Pop. I - vodivá, r. dívka C., jaoni, kružnice mračna, k mračnu měří se mračna

mračna měří se mračna

Populace II - r. spinacelid panvech

pop II - masy;  $Z \approx 0$ , výškové dudy - nejednotné n. masy a  
populace galaktických hulí



Obs: a AGB  $N < N_0$  - v hali

Izvlečení z výroku G.

Vznik - primordiální fľuknace  $\rightarrow$  první galaxie. Vývoj větších  
 $\rightarrow$  masy (2. fáz. jadra  $N_{31}$  apod) - galaxy s barhalismus  
(sgt. DVE - později :))

Druh masy G.  $\rightarrow$  masy  $\approx N_{31}$